

مقالات مروری REVIEW ARTICLES

تولید و بررسی ویژگی‌های اتوآنتی‌بادی مونوکلونال در بیماری لوبوس

دکتر ربابه رضایی پور

خلاصه

وجود اتوپادتن‌های ضد اسیدهای نوکلئیک یکی از ویژگی‌های بیماری خودایمن (اتوایمون) لوبوس (Systemic Lupus Erythematosus) در انسان و برخی از سویه‌های موش و حیوانات است. مسائل موجود در اتیولوژی بیماری لوبوس، بررسی دقیق ویژگی‌های پادگنی (آنتمی‌زنی) اتوآنتی‌بادی‌ها را ایجاد می‌کند. به عبارت دیگر تعیین ماده ایمنی‌زای (ایمونوژن) اختصاصی این اتوآنتی‌بادی‌ها و بررسی نشانه‌ها یا شاخصهای پادگنی (Antigenic determinants) مورد شناسایی آنها، شاید مهمترین قدم در شناخت اتیولوژی این بیماری باشد. با توجه به این امر و با در نظر گرفتن این مسئله که انجام چنین تحقیقاتی در یک گروه ناهمگن (هتروژن) از اتوآنتی‌بادی‌ها غیرممکن است، استفاده از روش جدید و ارزندهٔ مونوکلونال هیبریدوما (Monoclonal Hybridoma) در این بررسیها از اهمیت ویژه‌ای برخوردار می‌شود. در این مقاله نیز ویژگی‌های پادگنی و فیزیکو‌شیمیابی سه نوع اتوآنتی‌بادی مونوکلونال، که قبلًا "توسط نگارنده به روش هیبریدوما تولید شده است (۲۴) مورد بررسی قرار می‌گیرد.

یافته های ایمنی شناختی مهم در این بیماری عبارتند

مقدمه

از:

۱. یاخته (Lupus Erythematosus) LE که در حقیقت نوتروفیلی است که هسته استحاله یافته (دژنر) و هوموزیزه ای را که با پادتنه ای اختصاصی پوشیده شده است، اپسونیزه کرده است.
 ۲. کاهش اجزای مختلف سیستم مکمل، بخصوص C_3 بر اثر مصرف بیش از حد این پروتئین های آنزیمی توسط مجمع (کمپلکس) ایمنی. کاهش ژنتیکی C_4 و C_2 این سیستم نیز اخیراً توسط دانشمندان مختلف گزارش شده است (۷ و ۳۰).
 ۳. رسوب مجتمع ایمنی در بافت های مختلف با روش ایمونوفلورسانس غیر مستقیم به اثبات رسیده است. رسوب این مجتمع ها در کلیه ها نارسایی کلیه ای، در سیستم عصبی مرکزی، اختلالات و در قلب ناراحتی های قلبی را موجب می شود. با توجه به اینکه رسوب مجتمع ایمنی در کلیه پیوند شده بندرت صورت می گیرد اخیراً "جهت درمان نارسایی کلیه ای ناشی از این رسوب، پیوند کلیه پیشنهاد شده است (۳).
 ۴. در بیماری لوبوس اتو آنتی بادی های بسیار متنوعی علیه مواد هسته ای ریبیزوم ها (۲۶)، میتوکندری ها، نوکلئو-پروتئین ها، هیستون ها (۲۸) و لنفوسيت های T (۱۹) تولید می شود. در واقع وجود اتو آنتی بادی های ضد مواد هسته ای یا اسید های نوکلئیک مهمنترین مشخصه این بیماری است. این اتو آنتی بادی های سه گروه مشخص تقسیم بندی شده اند (۲) که در هر گروه شاخص پادگنی اختصاصی نیز مشخص شده است (۸):
- (الف) پادتنه ایی که فقط با DNA تکرشته ای (Single Stranded DNA=ssDNA) واکنش نشان می دهد. شاخص پادگنی مورد شناسایی این گروه قبل "نوکلئوتید فرض شده بود که بعداً" نیز توسط دیگران به اثبات رسید (۲۴). وجود این پادتنه ای اختصاصی به لوبوس ندارد و در سایر بیماری ها مانند روماتیسم مفصلی، نیز تولید می شود. تولید تجربی این پادتنه ای با تزریق کونژوگه حاصل از ترکیب اسید نوکلئیک تک رشته ای و یک پروتئین حامل (Carrier) مناسب نیز امکان پذیر است.
- (ب) پادتنه ایی که فقط با DNA دورشته ای (Double Stranded DNA)

به رغم تحقیقات گسترده ای که پیرامون جنبه های مختلف بیماری لوبوس صورت گرفته است، هنوز مسائل ناشناخته بسیاری در مورد اتیولوژی این بیماری باقی است که می باید مورد تحقیق قرار گیرند.

برخی از تحقیقات نقش عوامل ژنتیکی و وراثت را در ایجاد بیماری لوبوس موثر دانسته اند و دلیل آن را بروز بیماری لوبوس در افراد یک خانواده یا یک فامیل و یا بروز هم زمان بیماری در تعدادی از دوقلوهای یک تخمی (Monozygotic twins) می دانند. نقش وراثت را می توان از بررسی موهای نسل اول (F_1) حاصل از آمیزش موهای new Zealand Black (NZB) مبتلا به بیماری Autoimmune hemolytic (new Zealand White) NZW با موهای anemia سالم نیز استنباط نمود. موهای F_1 چنین آمیزشی بیماری خود ایمنی شبیه به لوبوس انسانی خواهند داشت (۲۹). اخیراً نیز امکان وجود رابطه ای بین سیستم HLA بخصوص HLA-DR $_3$ و ایجاد شدن این بیماری مورد بررسی قرار گرفته است (۴، ۵، ۲۲).

به نظر می رسد ویروس های خاصی از تیپ C-Type Viruses (C) نیز بیش از سایر ویروس ها در بروز بیماری لوبوس دخالت داشته باشد (۲۷). با استفاده از روش ایمونوفلورسانس وجود این ویروس ها را در بافت کلیه بیماران دچار لوبوس نشان داده اند (۲۱).

داروهایی که مانند هیدرالازین (Hydralazine)، پروکائین آمید (Procainamide) و فنیل بوتاژون (Phenyl butazone) از شناخته شده ترین داروها هستند که موجب پیدا شدن سندرم شبه لوبوس (Syndrome) می شوند (۱۹).

بر اساس مطالعات مختلف ثابت شده است که در موهای F_1 NZB/NZW به هنگام بروز علائم بیماری، فعالیت لنفوسيت های T (T-Suppressor=Ts) کاهش می یابد (۴). به دنبال کاهش فعالیت Ts ها، یک هیبرگاما گلوبولینی Hyper gammaglobulinemia و فعالیت غیر طبیعی پلی کلونال سیستم ایمنی نیز در بیماران ایجاد می شود (۱۸). همچنین بروز اختلال ایمنی یاخته ای نیز در این بیماران گزارش شده است (۳۲).

تولید یک نوع ایدیوتایپ به مقدار زیاد امکان‌پذیر شده است. توسط نگارنده نیز لنفوسیت‌های طحال موش NZW/NZB F₁ SP/0 Ag₂¹⁴ ادغام شد که سه نوع کلون هیبریدومای تولید کننده اتوآنتی‌بادی‌های ضد ssDNA به دست آمد؛ سپس هر یک از این اتوآنتی‌بادی‌های مونوکلونال از نظر شاخص پادگنی به طور کامل مورد مطالعه قرار گرفت.

پادتن مونوکلونال حاصل از کلون هیبرید E-4-1، IgG-1 بازنجیره سبک و برای کلون‌های E-4-¹⁴-¹¹-¹، IgG-2 بازنجیره سبک ۲ بود (شکل ۱ و ۲). همگن (هموژن) بودن مونوکلونال تولید شده به وسیله IEF به اثبات رسید. همان‌طور که در شکل ۳ مشاهده می‌شود پادتن‌های مونوکلونال در مقایسه با یک جمعیت پلی‌کلونال (ناهمگن) باندهای محدودتری را نشان می‌دهند. علت ایجاد چند باند در یک جمعیت همگن را ناشی از اختلاف ساختمانی قسمت کربو‌هیدراته، این نوع ایمونوگلوبولین‌ها می‌دانند و آن را microheterogeneity می‌نامند (۱۱).

همان‌طور که در جدولهای ۱ و ۲ نشان داده شده است هر سه نوع پادتن مونوکلونال تمایل بیشتری به ترکیب با ssDNA داشتند. همچنین ثابت شد که این اتوآنتی‌بادی‌ها با هوموپلی‌مرهای نوکلئوتیدی بهتر از دی‌نوکلئوتید‌ها واکنش نشان می‌دهند. این خاصیت مغایر با خصوصیات پادتهایی است که به طور تجربی علیه نوکلئوتید‌ها تولید می‌شوند. به عنوان مثال پادتن‌های ضد TMP با مونوکلونال T بیش از پلی T ترکیب می‌شوند (جدول ۳). توجیه این مطلب به این ترتیب است که اتوآنتی‌بادی‌های مونوکلونال بیشتر توالی (سکانسی) از نوکلئوتید‌ها را شناسایی می‌کنند، در نتیجه شاخص پادگنی اصلی برای محل فعل (اکتیو سایت) این اتوآنتی‌بادی‌ها بزرگتر از یک نوکلئوتید است. در ضمن احتمال دارد که اتوآنتی‌بادی‌های تولید شده در لوپوس به طریقه avidity به پادگنهای پلی مریک متصل شوند که این خود در بیماری‌ای (پاتوزن) این اتوآنتی‌بادی‌ها بسیار موئثر است. در حالیکه پادتهای ضد نوکلئوتید که به طور تجربی تولید شده‌اند به طریقه affinity با شاخص

Stranded DNA=dsDNA ترکیب می‌شوند. شاخص پادگنی مورد شناسایی توسط این گروه احتمالاً "مارپیچ dsDNA-Helix" یا شکل فضایی مولکول DNA است. تیترهای بالای این نوع اتوآنتی‌بادی فقط در بیماری لوپوس گزارش شده است و تولید تجربی این نوع پادتها در حیوانات ناکون موفقیتی نداشته است.

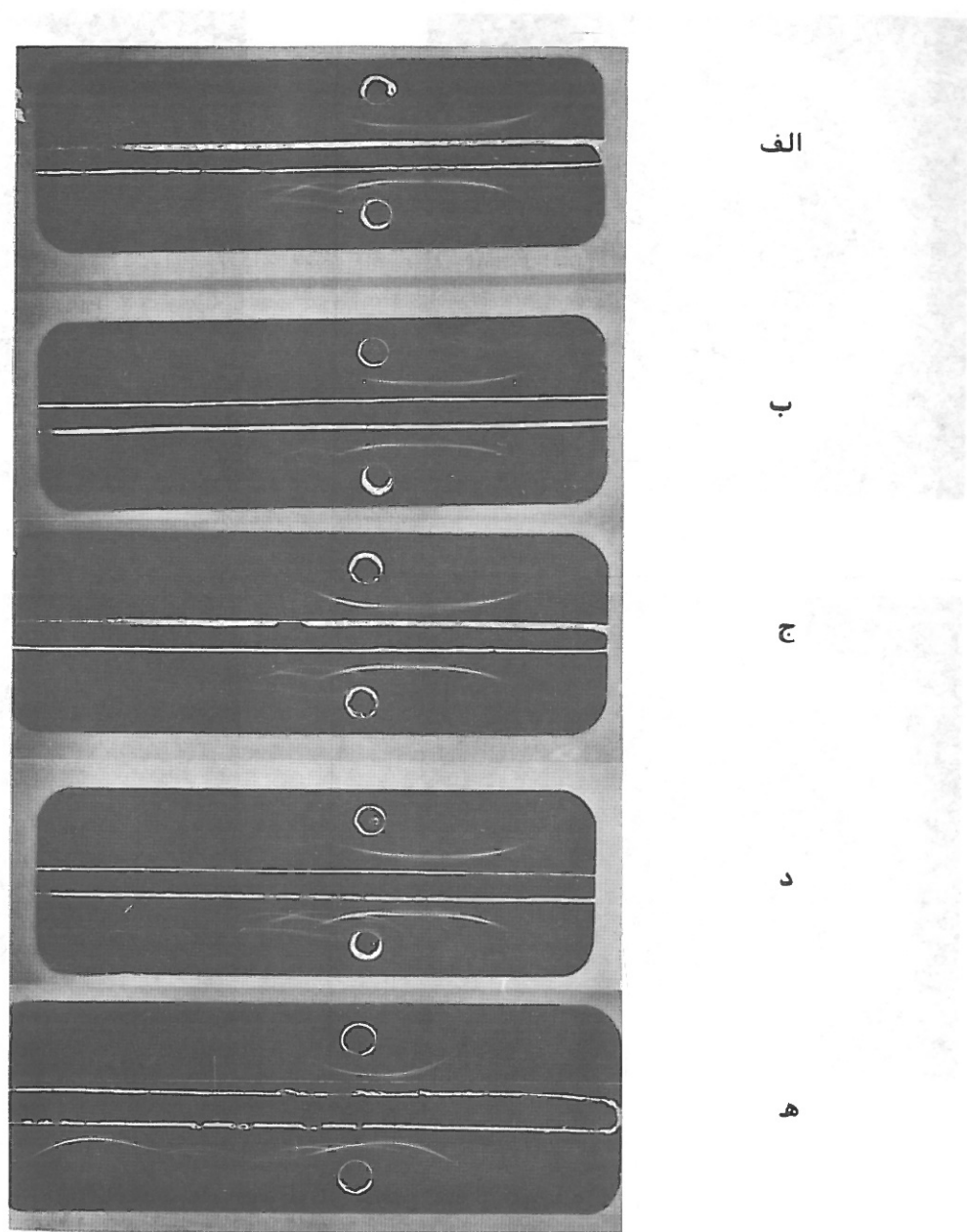
ج) اتوآنتی‌بادی‌هایی که با هر دو DNA تکرشته‌ای و دو رشته‌ای ترکیب می‌شوند. شاخص پادگنی در این حالت احتمالاً "گروههای قند و فسفات (Sugar-Phosphate Backbone)" مشترک در هر دو نوع DNA است. اتوآنتی‌بادی‌های ضد DNA در لوپوس که به طور عمده از ایزووتایپ‌های IgM و IgG هستند از نظر ویژگی و میل ترکیبی (affinity) جمعیتی پلی‌کلونال و ناهمگن (هتروژن) می‌باشد (۱۲، ۱۶). تعیین این اتوآنتی‌بادی‌ها با روش‌های RIA و با استفاده از DNA نشان دار شده با مواد رادیواکتیو امکان‌پذیر است. هر چند که روش جدید ایمونوفلورسانس در فار مایع نیز با استفاده از نوکلئوتید‌های فلورسانسی احیراً به سایر روش‌های مطالعه، این اتوآنتی‌بادی‌ها اضافه شده است (۲۳).

بررسی دقیق ویژگی‌های این اتوآنتی‌بادی‌ها با ابداع روش مونوکلونال هیبریدوما امکان‌پذیر شد (۱۲). این روش که توسط بسیاری از محققین به کار گرفته شد. (۱۳، ۲۴، ۲۵، ۳۱، ۳۴) موجبات تولید مقادیر کافی از یک نوع پادتن همگن و مونوکلونال را با یک ایدیوتایپ اختصاصی فراهم آورده است.

نتایج و بحث

پاسخ به سوالات بسیاری که در زمینه اتیولوژی بیماری‌های خود ایمن (اتوایمون) بخصوص لوپوس مطرح می‌شود، مستلزم شناخت دقیق ویژگی‌ها و شاخصهای پادگنی اتوآنتی‌بادی‌های تولید شده در این بیماری است. با توجه به این که اتوآنتی‌بادی‌های تولید شده در بیماری لوپوس، به دنبال فعالیت پلی‌کلونال لنفوسیت‌ها، یک جمعیت ناهمگن (هتروژن) را تشکیل می‌دهند، بررسی این تایپ اختصاصی این جمعیت و شناخت بیشتر محل فعل این مولکول‌ها غیر ممکن است. اما امروزه با روش جالب مونوکلونال هیبریدوما،

* سه کلون هیبرید تولید شده به ترتیب با حروف E-4-4¹, E-4-4², E-4-1 نشان داده شدند. این علام اختصاری نشانده‌نده دفعات هیبریداسیون، شماره چاک‌های پلیت‌های مخصوص کشت یاخته و در نهایت شماره کلون‌های حاصل از این کشت‌ها است.

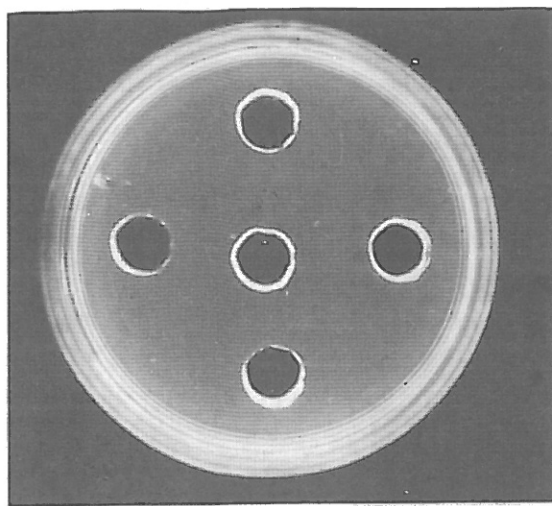


شکل ۱. روش ایمونو الکتروفورز

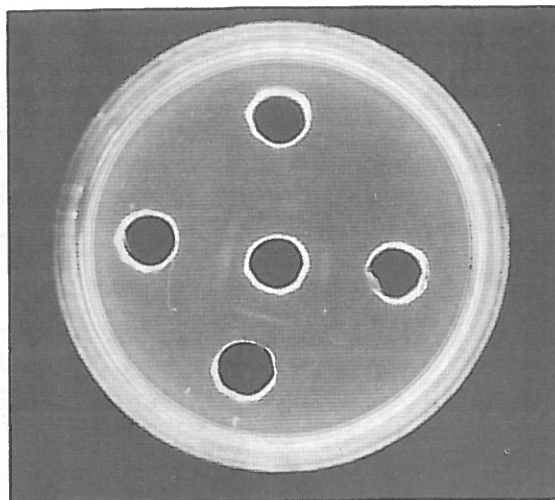
بالا الکتروفورز صورت گرفت و بالاخره به شیار وسط پادتن ضد سرم خرگوش اضافه شد .
 ه) اتوآنتی بادی خالص شده از کلون E-4-4 به روش affinity کروماتوگرافی در حفره بالا قرار داده شد و در حفره پایینی ایمونوگلوبولین مایع آسیتی به دست آمده از تزریق همان کلون E-4-4 که با سولفات آمونیوم رسوب داده شده بود ، ریخته شد . پس از الکتروفورز و با افزودن پادتن ضد ایمونوگلوبولین به شیار وسط ، خطوط رسوبی - مشابه روش فوق - تشکیل شد .

الف ، ب و ج) IgG خالص شده انسانی به حفرات بالا و سرم های طبیعی انسانی به حفرات پایینی اضافه شد . پس از انجام الکتروفورز ، در ۷ ۲۲۰ به مدت ۲ ساعت در شیار وسط آنتی سرم انسانی قرار داده شد . به دنبال این عمل خطوط رسوبی در محفظه مرطوب تشکیل گردید ؛ در حرارت اتاق و پس از ۲۴ ساعت .

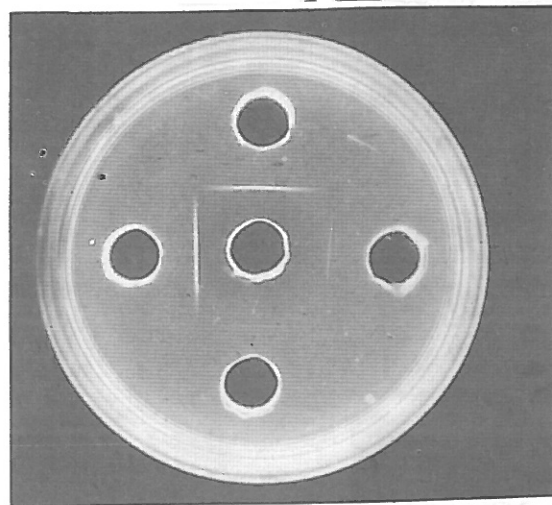
د) IgG خالص شده خرگوش ، که به طور تجربی علیه UMP-KLH تولید شده بود ، در حفره بالا و سرم طبیعی خرگوش در حفره پایینی پلیت قرار داده شد و مطابق روش



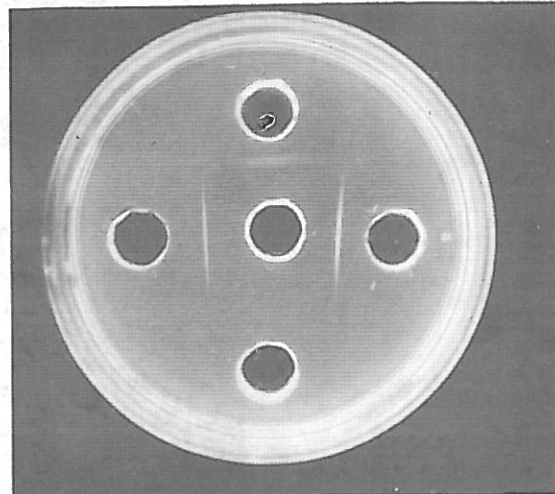
ب



الف



د



ج

شکل ۲. روش Ouchterlony با پادتن‌های مونوکلونال خالص شده از کلون‌های E-4-4 و E-11-1.

مواد زیر به ترتیب به حفرات پلیت‌ها اضافه شد:

* ایمونوگلوبولین خالص شده از کلون E-4-4 به روش affinity کروماتوگرافی به حفره بالایی.

* ایمونوگلوبولین خالص شده به روش سولفات آمونیوم از مایع آسیتی به دست آمده از تزریق کلون E-4-4 به حفره چپ.

* ایمونوگلوبولین خالص شده از کلون E-11-1 به روش affinity کروماتوگرافی به حفره پایینی.

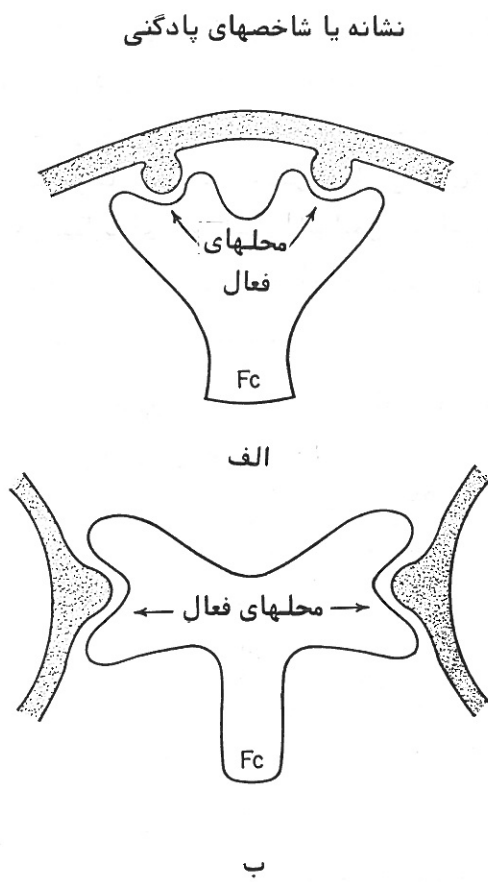
* ایمونوگلوبولین خالص شده به روش سولفات آمونیوم از مایع آسیتی به دست آمده از تزریق کلون E-11-1 به حفره راست.

الف) در حفره مرکزی پادتن ضد زنجیره سبک K موش؛

ب) در حفره مرکزی پادتن ضد زنجیره سبک A موش؛

ج) در حفره مرکزی پادتن ضد زنجیره سنگین IgG₁ موش؛

د) وبالآخره در حفره مرکزی آخرین پلیت پادتن ضد زنجیره سنگین IgG₂ موش قرار داده شد.



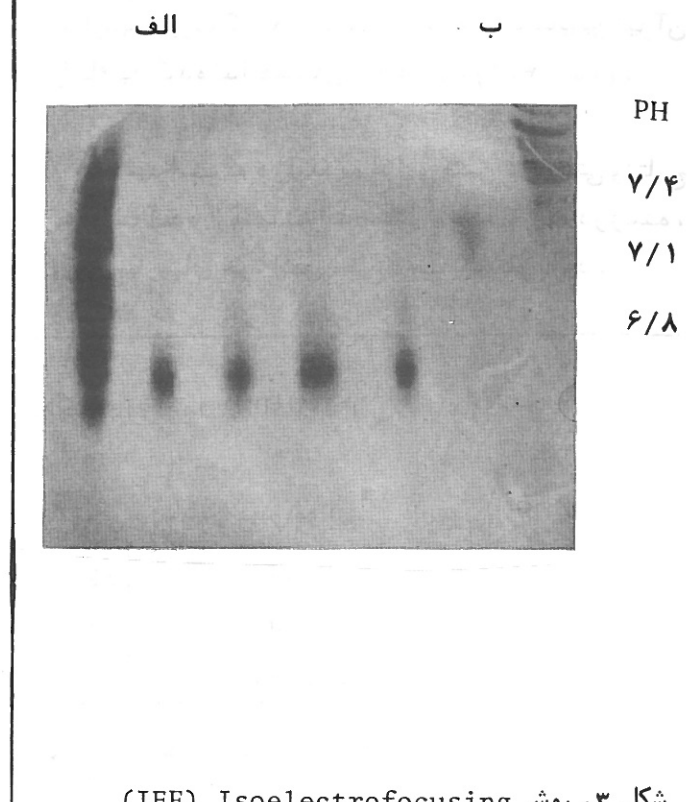
شکل ۴. مقایسه شکل فضایی محل فعل (اکتیو سایت) پادتهای مختلف.

الف) اتوآنتی بادی تولید شده در لوپوس احتمالاً به شکل Avidity با یک پادتن پلی مری مثل DNA و اکتسن شان می دهد.

ب) پادتهای تجربی تولید شده علیه نوکلئوتیدها احتمالاً به شکل affinity به پادگنهای پلی مری متصل می شوند.

نوکلئوتید که برابر 3 A^{2000} است، مشخص می شود که محل فعل مولکول پادتن حداقل دونوکلئوتید را می تواند در بر گیرد؛ به احتمال یک واکنش ضعیف دیگر با نوکلئوتید سوم. نتایجی مشابه این مطالعه توسط سایر پژوهندگان نیز ارائه شده است (۱۵، ۱۰، ۱).

در این مطالعه ثابت شد که میل ترکیبی هر سه نوع پادتن مونوکلونال کم بوده است (حدود $1 \text{ M}^{10^5} - 10^4$) (جدول ۴). این امر بروز یک واکنش تقاطعی (cross reaction) را در این بیماری محتمل می سازد، به عبارت



شکل ۳. روش Isoelectrofocusing (IEF) در شکل ۳ - الف . IgG ضد هاپتن فلوروستین و در شکل ۳ - ب ایمونوگلوبولین خالص شده به روش affinity کروماتوگرافی از کلون ۴-۴ E به ژل افزوده شده اند.

پادگنی اختصاصی واکنش نشان می دهند (شکل ۴). این اختلاف می تواند ناشی از طرز قرار گرفتن محل فعل این دو نوع پادتن باشد. در بررسیهای مؤلف، پادتن های مونوکلونال تولید شده خواصی را در مقابل نوکلئوتید ها نشان دادند. برای مثال کلون ۱-۴ E به ۴-۴ E با مشتقات منو، دی و پلی G ترکیب شد؛ در حالی که، کلون های ۱-۱ E به ۴-۴ E با مشتقات T واکنش بهتری نشان دادند (جدول ۲). با بررسی میل ترکیبی (affinity) (کلون ۱-۱ E به ۴-۴ E) برای منو و دی نوکلئوتید G و با درنظر گرفتن این موضوع که میل ترکیبی پادتهای حاصل از کلون فوق برای دی - نوکلئوتید G ده برابر منو نوکلئوتید G است، ثابت می شود که شاخص مورد شناسایی اتوآنتی بادی های منوکلونال، از یک نوکلئوتید بزرگتر است. واس (Woss) در سال ۱۹۷۶ (۳۳) حجم محل فعل پادتن های ضد هاپتنی را 3 A^{2500} برابر $10^5 - 10^4$ میگذارد. حال با فرض بر اینکه محل فعل پادتن ها تقريباً یک اندازه اند و با مقایسه اين رقم با حجم يك دی

است که سالیان متتمادی برای پی بردن به اتیولوژی این بیماریها صورت گرفته است و چون تحقیقات سایرین نیز آن را تائیید کرده لذا همچنان ادامه دارد (۶، ۱۴، ۲۰).

امید است که در آینده، ادامه چنین تحقیقاتی و نتایج به دست آمده از آنها بتواند مسائل مختلفی را که در زمینه، بروز بیماریهای خود ایمن مطرح است پاسخگو باشد.

دیگر، یک عامل بیگانه، شاخص اصلی برای این اتوآنتی بادی‌ها تصور می‌شود. میل ترکیبی این پادتن‌ها با پادگن خودی (cross reacting Antigen) چندان زیاد نیست اما در برابر شاخص اصلی چندین برابر خواهد بود.

به هر حال مطالعه دقیقتر اتوآنتی بادی‌های تولید شده در بیماریهای خود ایمن (اتوایمن) انسانی، بخصوص به روش مونوکلونال هیبریدوما، شاید موثرترین گام در تلاشی

جدول ۱. درصد اتصال پادتنهای مونوکلونال با ^{125}I -ssDNA و ^{125}I -dsDNA در روش Farr :

* پادتن مونوکلونال	^{125}I -ssDNA	^{125}I -dsDNA	درصد انتقال
E-4-1	32.7 ± 5.6	10.0 ± 4.5	
E-4-4	35.0 ± 3.0	27.9 ± 2.9	
E-11-1	37.7 ± 1.7	14.0 ± 6.3	

* در هر آزمایش ۶۰ میلی‌گرم ایمونوگلوبولین خالص شده به کار برده شده است.

جدول ۲. واکنش پادتنهای مونوکلونال با ^{125}I -ssDNA و بررسی اثر مواد رقابتی (Inhibitors) مختلف برای این اتصال

Inhibitors	Inhibitor* Concentration	Percent Inhibition		
		E-4-1**	E-4-4**	E-11-1**
ssDNA	$10\text{ }\mu\text{g}$	100	92	100
dsDNA	$10\text{ }\mu\text{g}$	60	28	42
RNA	$10\text{ }\mu\text{g}$	0	0	0
Poly G	10^{-4}M	100	10	34
Poly T	10^{-4}M	57	65	81
Poly C	10^{-4}M	0	0	18
Poly A	10^{-4}M	34	0	31
Poly U	10^{-4}M	0	0	28
GPG	10^{-4}M	100	3	6
TPT	10^{-4}M	0	36	51
APA	10^{-4}M	33	6	6
TpdG	10^{-4}M	0	13	30
GpA	10^{-4}M	65	0	0
dCpdG	10^{-4}M	0	8	31
TpdA	10^{-4}M	9	6	38

** غلظت نهایی مواد رقابتی در ۱۰۰ میلی‌لیتر حجم نهایی آزمایش محاسبه شد.

*** ۶۰ میلی‌گرم خالص شده در هر آزمایش به کار رفت.

جدول ۳. مطالعات رقابتی با استفاده از پادتن ضد KLH-TMP به روش ایمونوفلورسانس فاز مایع :

نوكلئوتید فلورسانسی*	نوكلئوتید رقابتی ***	درصد رقابت با نوكلئوتید
AmNs-TDP	TMP	۵۴
AmNs-TDP	TPT	۵۶
AmNs-TDP	Poly T	۲۰

* غلظت نوكلئوتید فلورسانسی برابر $M = 10^{-6}/8$ بود.

** ماده رقابتی با غلظت $M = 10^{-4}$ به کار برده شد.

جدول ۴. اندازه‌گیری ضریب ثابت تعادلی (KA) و ضریب a در سه پادتن مونوکلونال خالص شده، با استفاده از نوكلئوتیدهای فلورسانسی در روش ایمونوفلورسانس فاز مایع :

$$\text{نوكلئوتیدهای فلورسانسی} \quad \text{ KA } (\text{M}^{-1}) \quad \text{ ضرایب}$$

پادتن مونوکلونال	AmNS-GDP	AmNS-TDP	AmNS-GPG	ضرایب *
E-4-1	1.1×10^5	--	1.7×10^6	0.98
E-4-4	--	5.6×10^4	--	0.96
E-11-1	--	2.0×10^5	--	0.90

* این ضرایب که در منحنی sips با محاسبه شیب منحنی محاسبه شده است همگن بودن جمعیت پادتن مونوکلونال را نشان می‌دهند.

مراجع

1. Andrezejewski C Jr et al: J.Immunol 126:226-231, 1981
2. Arana R, seligmann M: J.Clin.Invest 46, 1867
3. Balow J E: clinics in immunology and allergy 6:2, 1986
4. Batchelor Jr et al: Lancet 1:1107, 1980
5. Bell DA et al: J.Rheumatol 11:475, 1984
6. Bernardo, E.DE et al: J.of clin.Immunol 7.No 1:71-77, 1987
7. Bevra Hannaks Hahn: Harrison's 11th edition, 1987, p.1418
8. Cohen S A, Hughes G R V, Neel G L and Christian C L: Clin. Exp.Immunol 8: 551, 1971
9. Condemi J J, Moore-Jones D, Vaughan J H and Perry H M: N Engl J Med 276: 486, 1967
10. Eilat D et al: J.Immunol 124:766-768, 1980
11. Hoffman D R: in Biological and Biomedical Applications of Isoelectric Focusing. Drysdale J, Castsimopoulas N (eds), 1977
12. Kohler G, Milstein C: Nature 256: 495, 1975
13. Kozbor D et al: J Immunol 133: 3001-3005, 1984
14. Kuroki T et al: Clin Exp Immunol 62:361-370, 1985
15. Lee J S et al: Nucleic Acids Res 9:1707-1711, 1981
16. Manak, R C, Voss E W Jr: Immunochemistry 15, 1978
17. Mánák R C, Voss E W J: Immunochemistry 15:633, 1978
18. Morimoto C: Clin Exp Immunol 32:125, 1978
19. Morimoto C, Relinherz E L, Abe T, Homma M, Schlossman S F: Clin Immunol Immunopathol 16: 474, 1980
20. Normannsell DE, et al: Ann Clin, Lab Sci 14:64-68, 1984
21. Panem S, Ordonez N G, Kirsten, W H: N Engl, J Med 295:470, 1976
22. Reveille JD et al: Immunogenetics. 21:299-311. 1985
23. Rezaei Poor Kardost R, et al: Mol Immunol. 19: 159-170, 1981
24. Rezaei Poor Kardoost R, Billing P A, Voss E W Jr: Molecular Immunology 19, No.8 963, 1982

25. Ruf J et al: EMBO J 2: 1821-1826, 1983
26. Schur P H, Moroz L A, Kunhel H G: Immunochimistry 4:447, 1967
27. Schwartz R S: New Engl, J Med 293:132, 1975
28. Stollar B D: Arth Rheum 14: 485, 1971
29. Talal N, steingerg A D: Curr Top Microbiol, Immunol 64:79, 1974
30. Tappeiner G. J Am, Acad, Dermatol 7:66, 1982
31. Tron F, Charron D, Bach J F, Talal N: J Immunol 125:2807, 1980
32. Tsokos G C et al: The American Journal of Medicine 81: 1981, 1986
33. Voss E W Jr et al: Immunochimistry 13: 447, 1976
34. Weetman AP et al: Clin Chim Acta 138:237-244, 1983